
CALCUL PARALLÈLE D'ÉCOULEMENTS RÉACTIFS COMPRESSIBLES

Dmitry DAVIDENKO



Plan de l'exposé

- I. Introduction**
- II. Plates-formes parallèles et principes de parallélisation**
- III. Quelques tests comparatifs**
- IV. Simulations parallèles d'écoulements réactifs à l'ICARE-CNRS**
- V. Conclusions et perspectives**

Plan de l'exposé

I. Introduction

II. Plates-formes parallèles et principes de parallélisation

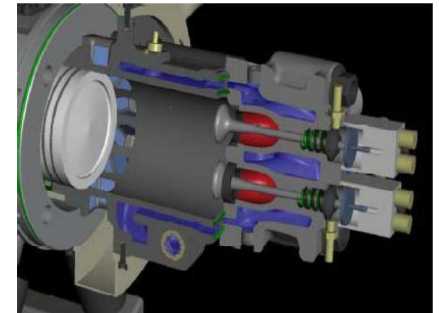
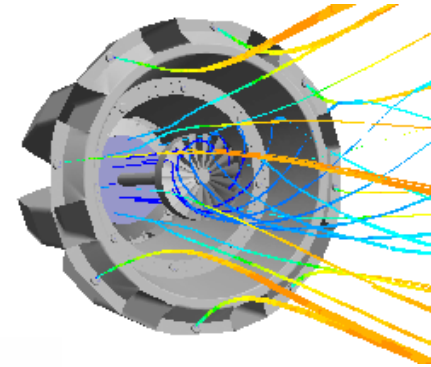
III. Quelques tests comparatifs

IV. Simulations parallèles d'écoulements réactifs à l'ICARE-CNRS

V. Conclusions et perspectives

Applications pratiques d'écoulements réactifs compressibles

- ➔ Moteurs aéronautiques
- ➔ Propulseurs des lanceurs spatiaux
- ➔ Moteurs d'automobile
- ➔ Turbines terrestres
- ➔ Lasers à gaz
- ➔ Appareils de rentrée atmosphérique



Approches utilisées dans les simulations

⇒ Milieu continu ($Kn = l / L \ll 1$)

- ↳ Équations d'Euler pour le gaz non visqueux
- ↳ Équations de Navier-Stokes pour le gaz visqueux
- ↳ Méthodes mixtes Navier-Stokes - Monte Carlo pour les écoulements turbulents

⇒ Milieu raréfié ou micro-échèles ($Kn = l / L \approx 1$)

- ↳ Modèle Bhatnagar-Gross-Krook (BGK) pour l'équation cinétique
- ↳ Méthode « Direct Simulation Monte Carlo » (DSMC)

Approche milieu continu : équations de Navier-Stokes

Continuité

$$\frac{\partial \rho}{\partial t} + \frac{\partial \rho u_j}{\partial x_j} = 0$$

Quantité de mouvement

$$\frac{\partial \rho u_i}{\partial t} + \frac{\partial \rho u_i u_j}{\partial x_j} = -\frac{\partial p}{\partial x_i} + \frac{\partial \tau_{ij}}{\partial x_j}$$

Bilan énergétique

$$\frac{\partial \rho E}{\partial t} + \frac{\partial (\rho E + p) u_j}{\partial x_j} = \frac{\partial u_i \tau_{ij}}{\partial x_j} - \frac{\partial q_j}{\partial x_j}$$

$$E = e + \frac{1}{2} u_i u_i$$

Bilan massique des espèces chimiques

$$\frac{\partial (\rho Y_s)}{\partial t} + \frac{\partial (\rho u_j Y_s)}{\partial x_j} = -\frac{\partial J_{sj}}{\partial x_j} + W_s$$

$$s \in [1, N_s - 1] \quad \sum_{s=1}^{N_s} \tilde{Y}_s = 1$$

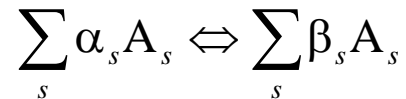
Termes visqueux

$$\tau_{ij} = \mu \left(\frac{\partial u_i}{\partial x_j} + \frac{\partial u_j}{\partial x_i} - \frac{2}{3} \frac{\partial u_k}{\partial x_k} \delta_{ij} \right)$$

$$q_i = -\lambda \frac{\partial T}{\partial x_i} + \sum_{s=1}^{N_s} h_s J_s$$

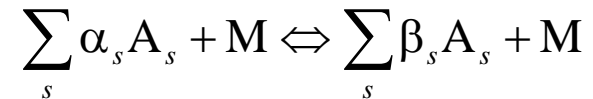
Modèle de cinétique chimique

Réaction d'échange



$$\omega_f = K_f \prod_s C_s^{\alpha'_s} \quad \omega_b = K_b \prod_s C_s^{\beta'_s}$$

Réaction de dissociation-recombinaison



$$\omega_f = K_f C_M \prod_s C_s^{\alpha'_s} \quad \omega_b = K_b C_M \prod_s C_s^{\beta'_s}$$

Constante de vitesse d'une réaction chimique (K_f , K_b)

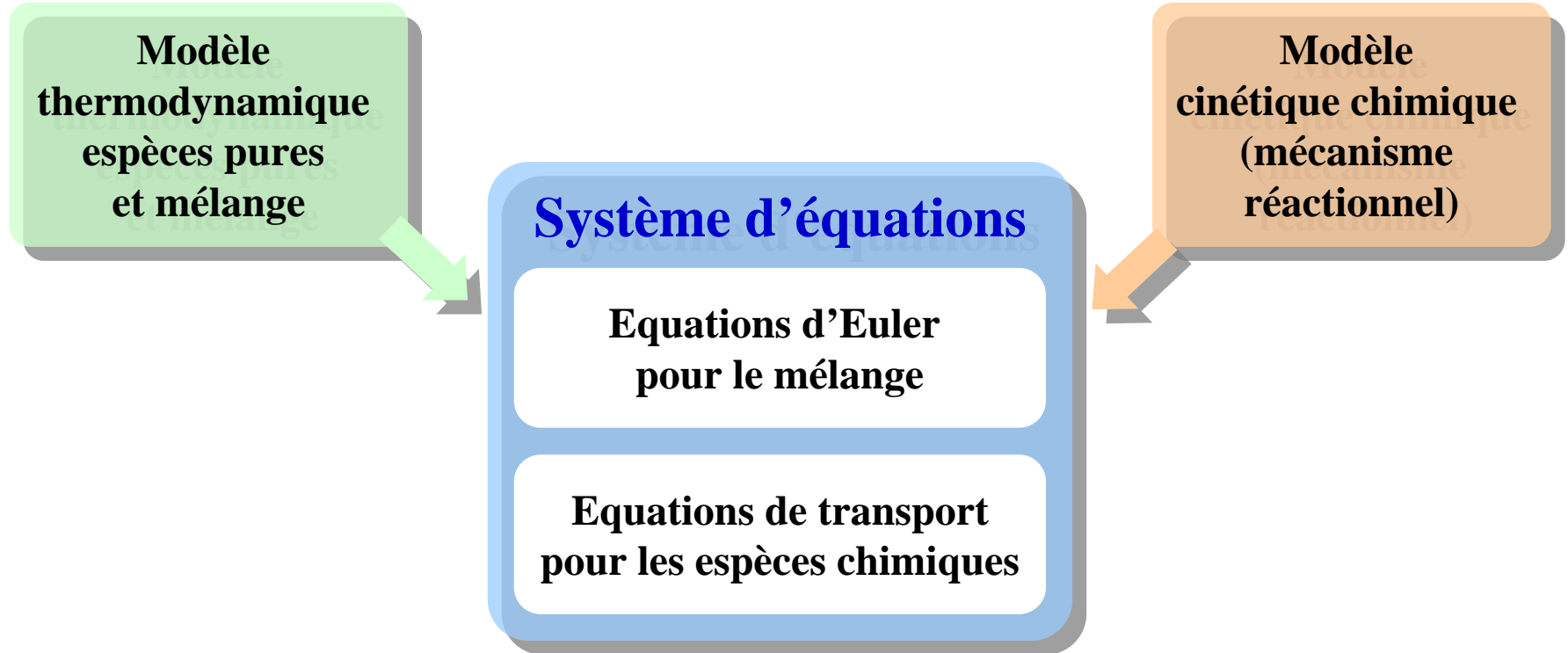
Loi d'Arrhenius

$$K = AT^b \exp\left(-\frac{E}{R_u T}\right)$$

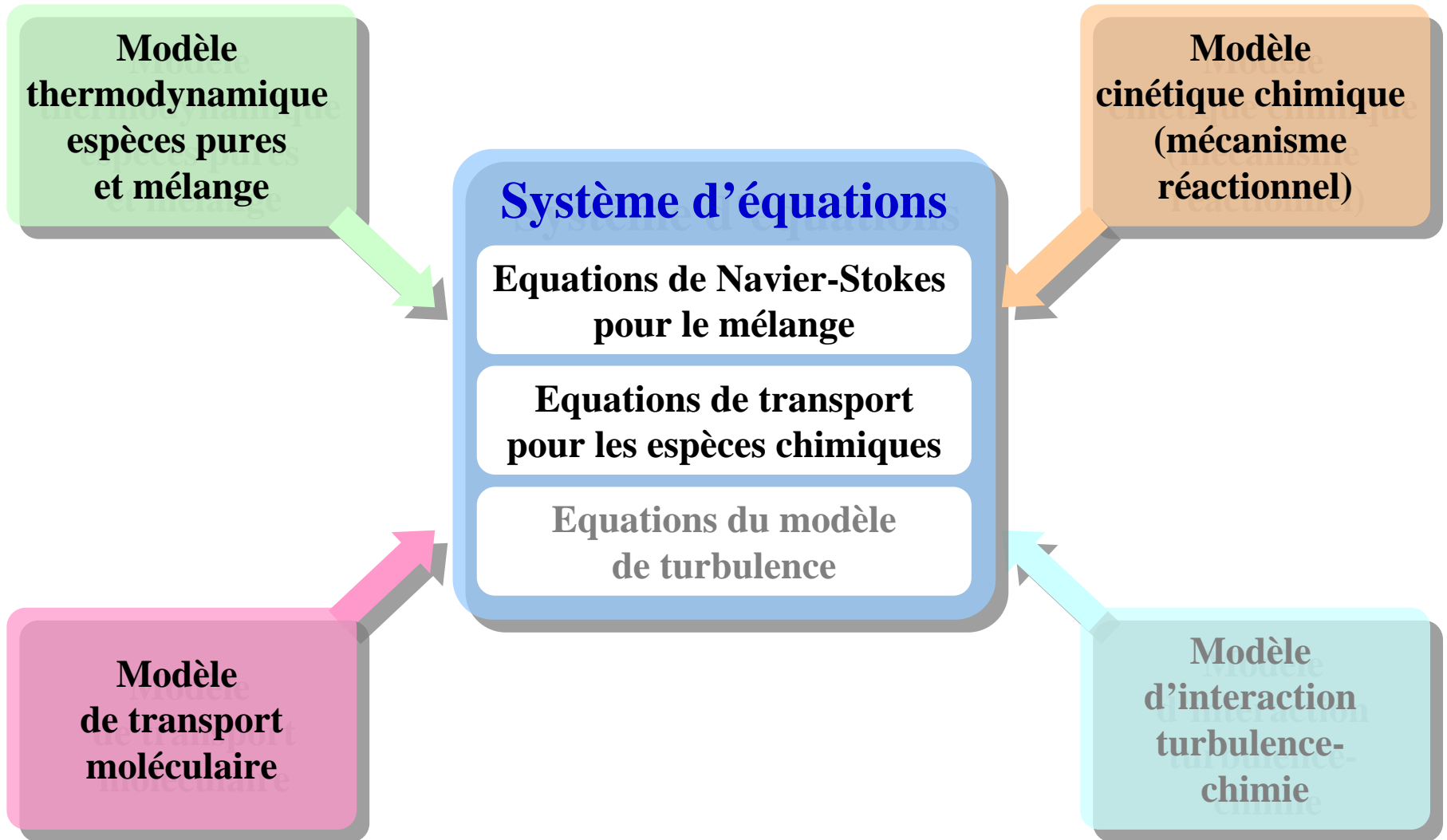
Taux de production d'une espèce chimique

$$W_s = M_s \sum_{r=1}^{N_r} (\beta_{sr} - \alpha_{sr})(\omega_{fr} - \omega_{br})$$

Approche milieu continu non visqueux réactif



Approche milieu continu visqueux réactif



Facteurs augmentant la coût de calcul

- ➔ **Configurations complexes**
 - ↪ **Géométrie 3D**
 - ↪ **Problème non stationnaire**
- ➔ **Conditions sévères**
 - ↪ **Haute pression**
 - ↪ **Mélanges réactifs concentrés**
 - ↪ **Systèmes réactionnels complexes**
- ➔ **Haute précision**
 - ↪ **Résolution spatiale et temporelle**
 - ↪ **Basse erreur numérique**

Plan de l'exposé

I. Introduction

II. Plates-formes parallèles et principes de parallélisation

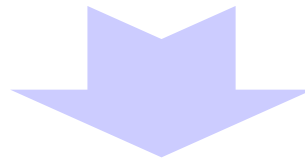
III. Quelques tests comparatifs

IV. Simulations parallèles d'écoulements réactifs à l'ICARE-CNRS

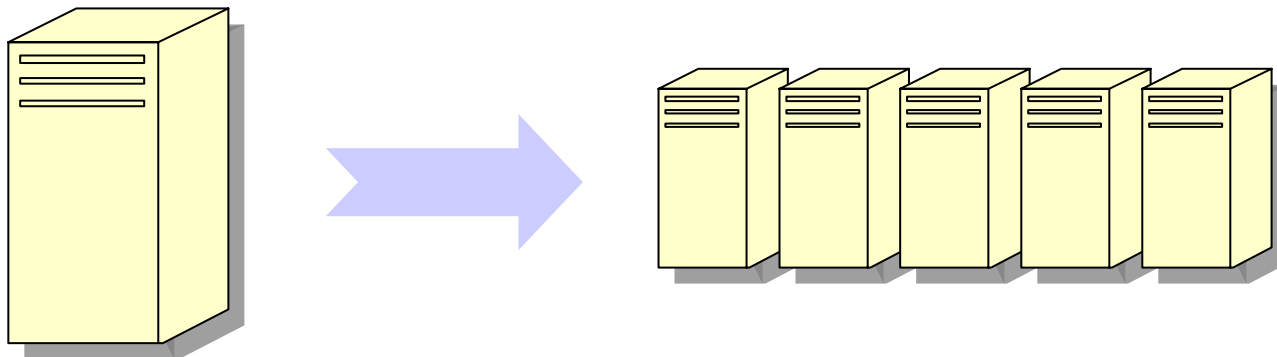
V. Conclusions et perspectives

Pourquoi calcul parallèle ?

- Le besoin de performance d'ordinateurs croît plus vite que leur puissance individuelle.
- Production développée des composants informatiques
 - ↳ **Disponibilité**
 - ↳ **Prix modéré**



Résolution du problème par la voie extensive



Architectures parallèles

⇒ **Vectorielle**

⇒ **Parallèle à mémoire partagée**

⇒ **Parallèle à mémoire distribuée**

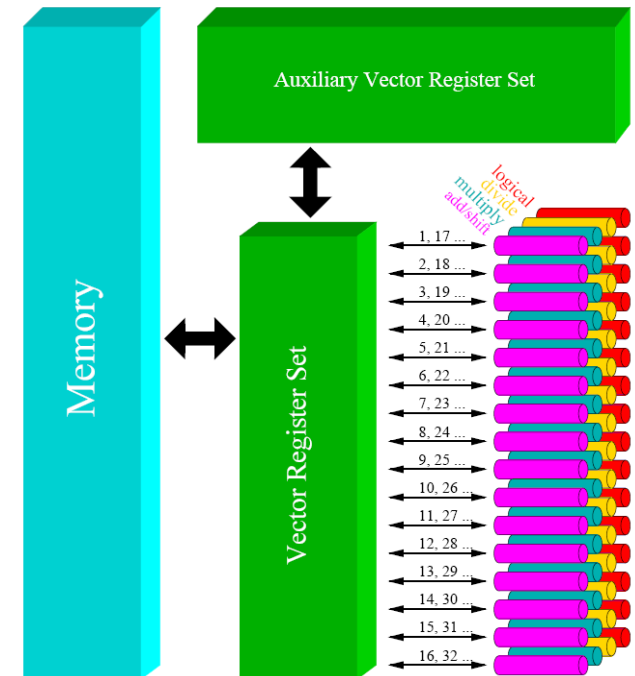
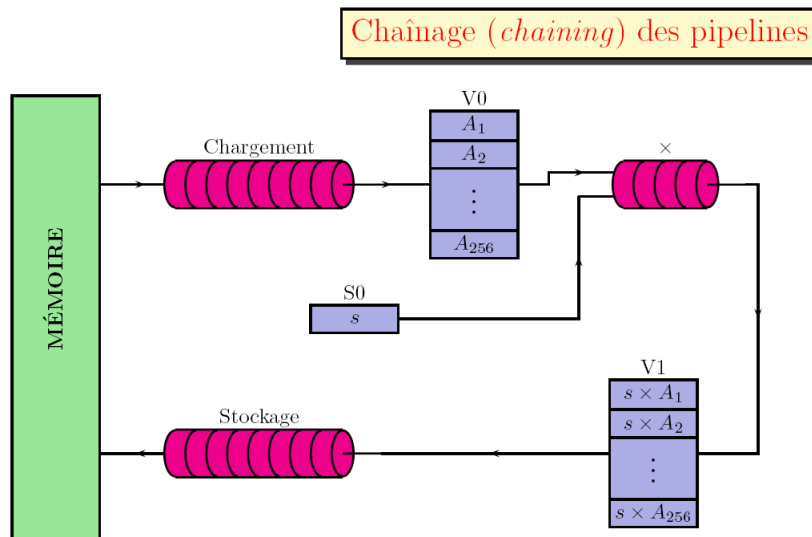
Architecture vectorielle

➔ Principes

- Parallélisation au niveau de l'unité centrale
- SIMD (Single Instruction – Multiple Data)

➔ Matériel

- Pipelines dans l'unité centrale
- Voies multiples d'accès à la mémoire



Vectorisation de code

➔ Principes de parallélisme

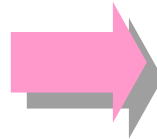
- ↪ Exécution parallèle des opérateurs dans les boucles
- ↪ Génération d'un code parallèle par le compilateur

➔ Impact sur le codage

- ↪ La plus longue boucle à l'intérieur
- ↪ Accès contigu aux données
- ↪ Pas d'appel aux sous-routines dans les boucles
- ↪ Pas d'opérateur de sortie
- ↪ Conflits de dépendance



```
do j = 1, 10
  do i = 1, 1000
    A(i,j) = B(i,j)
  end do
end do
```



```
do i = 1, Ni
  A(i-1) = B(i)
  C(i) = A(i)
end do
```

≠

```
do i = 1, Ni
  A(i-1) = B(i)
end do
do i = 1, Ni
  C(i) = A(i)
end do
```

Vectorisation : « + » et « - »



Gain de performance important sur les calculateurs vectoriels (famille NEC SX)



Disponible comme option d'optimisation sur les PC avec les compilateurs Intel ou PGI



Problèmes de codage et d'optimisation



Attention à la longueur des boucles et aux conflits d'accès à la mémoire

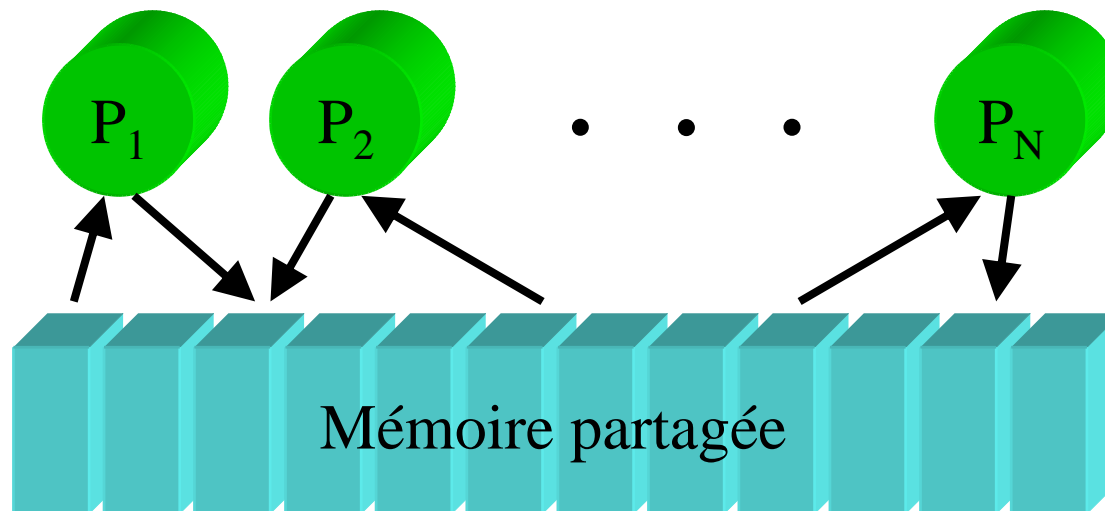
Architecture parallèle à mémoire partagée

➔ Principes

- Partage d'un calcul entre plusieurs processeurs ayant accès indépendant à la mémoire commune
- SIMD (Single Instruction – Multiple Data) et MIMD (Multiple Instructions – Multiple Data)

➔ Matériel

- Multiprocesseurs
- Voies multiples d'accès à la mémoire



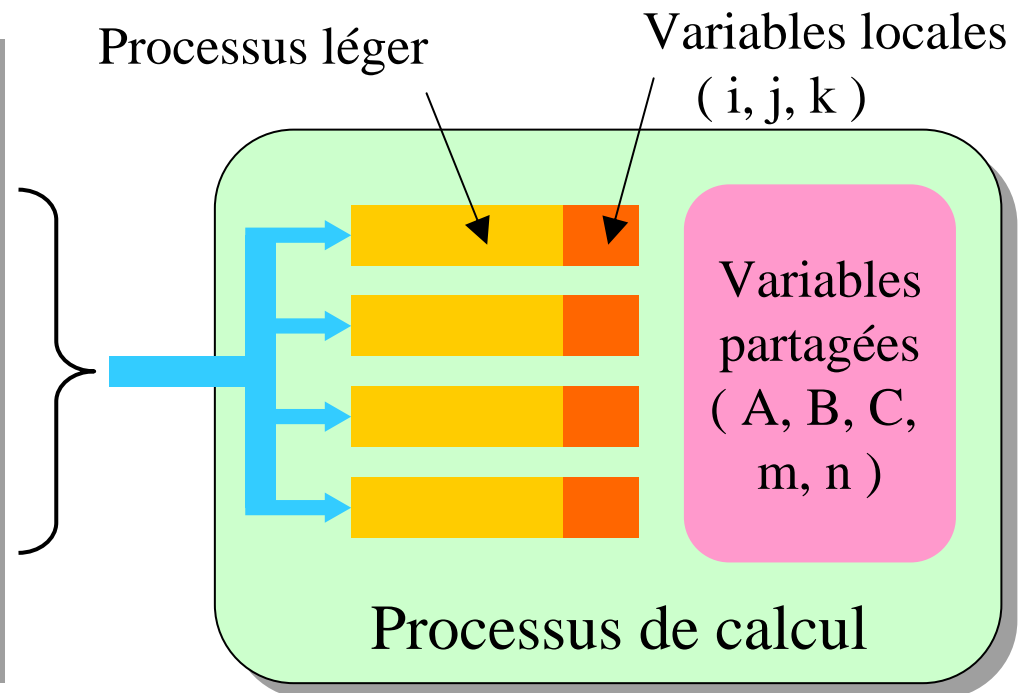
Code parallélisé OpenMP

(OpenMP = *Open Multi Processing*)

➔ Étapes de parallélisation

- Indication des régions d'exécution parallèle du code par l'introduction d'instructions OpenMP
- Génération d'un code parallèle par le compilateur
- Exécution des régions parallèles par des processus légers (*threads*)

```
! Produit de matrices
!$OMP PARALLEL
!$OMP DO SCHEDULE(RUNTIME)
do j = 1, m
  do k = 1, n
    do i = 1, m
      C(i,j) = C(i,j) + A(i,k) * B(k,j)
    end do
  end do
end do
!$OMP END DO
!$OMP END PARALLEL
```



Code parallélisé OpenMP (2)

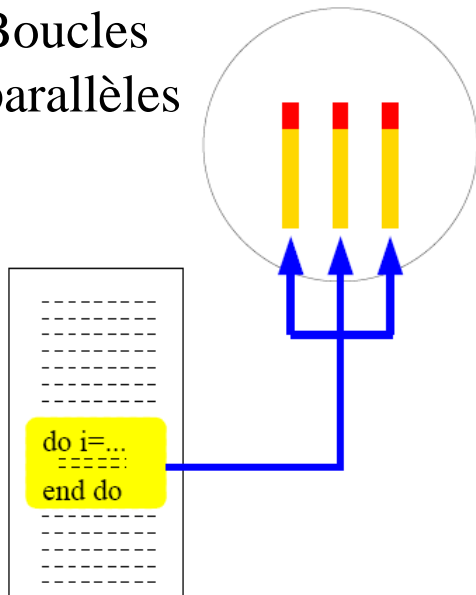
➔ Principes de parallélisme

- Répartir les itérations d'une boucle entre les processus légers
- Exécuter différentes sections du code séparément
- Exécuter plusieurs occurrences d'une procédure

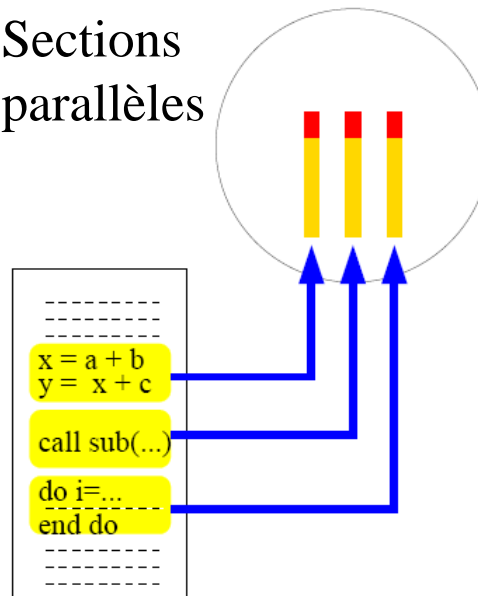
➔ Difficultés possibles

- Synchronisation des variables partagées lors de l'écriture
- Utilisation efficace du cash pour éviter les conflits d'accès à la mémoire

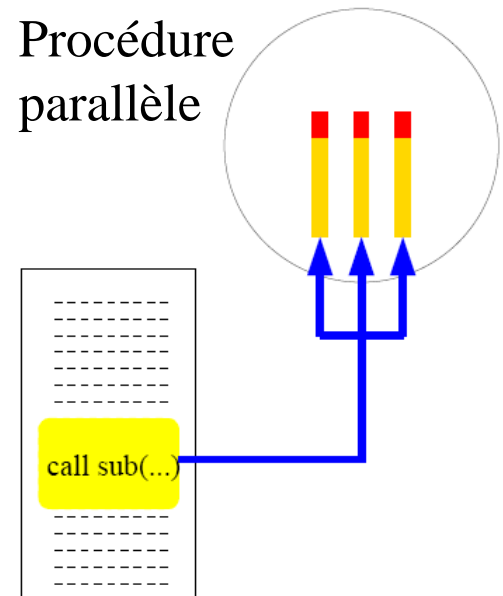
Boucles parallèles



Sections parallèles



Procédure parallèle



Parallélisation OpenMP : « + » et « - »



Gain de performance important sur les calculateurs multiprocesseurs



Code portable parallèle-séquentiel



Disponible sur les PC avec les compilateurs Intel ou PGI



Problèmes d'optimisation et de débogage



Attention aux conflits d'accès à la mémoire

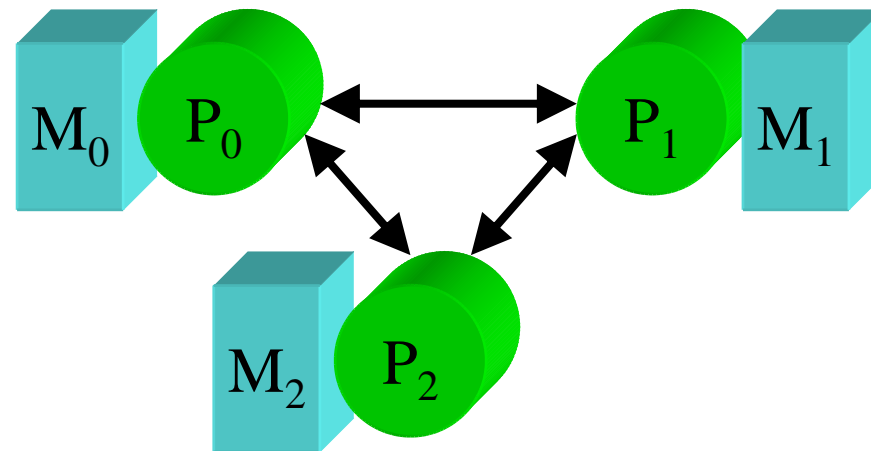
Architecture parallèle à mémoire distribuée

⇒ Principes

- ↪ Distribution des tâches entre plusieurs processus ayant des espaces mémoire réservés
- ↪ Chaque processeur s'occupe de son processus

⇒ Matériel

- ↪ Multiprocesseurs
- ↪ Clusters d'ordinateurs liés par un réseau



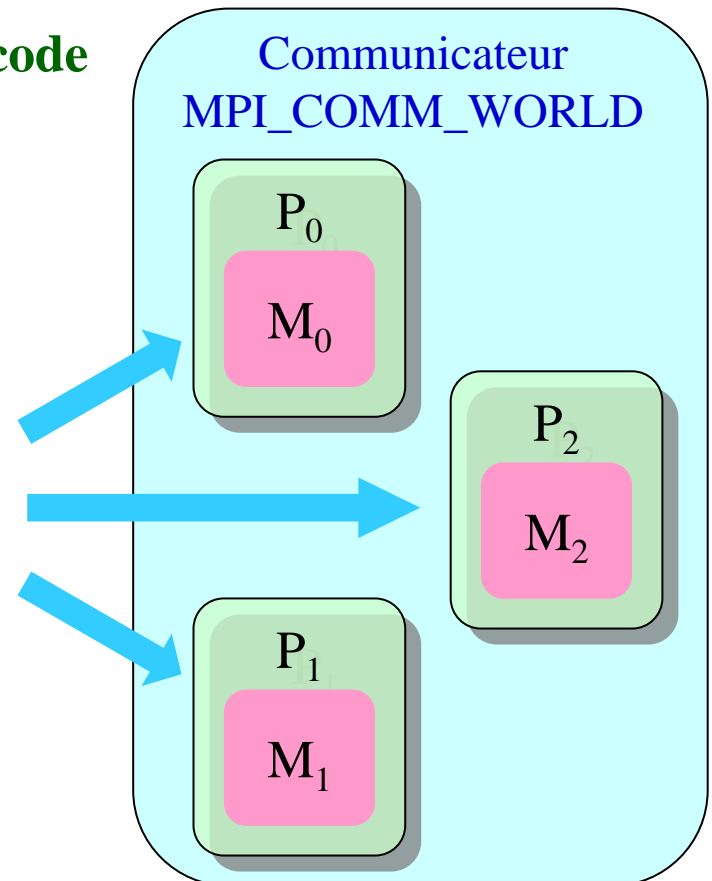
Code parallélisé MPI

(MPI = *Message Passing Interface*)

➔ Étapes de parallélisation

- Insertion des appels aux procédures MPI dans le code
- Génération d'un code parallèle par le compilateur en utilisant des bibliothèques MPI
- Exécution de plusieurs instances du code dans un environnement parallèle **MPICH** ou **LAM**

```
include 'mpif.h'  
integer :: nb_procs, rang, code  
  
call MPI_INIT(code)  
call MPI_COMM_SIZE(MPI_COMM_WORLD, nb_procs, code)  
call MPI_COMM_RANK(MPI_COMM_WORLD, rang, code)  
  
print, nb_procs, rang  
  
call MPI_FINALIZE(code)
```



Code parallélisé MPI (2)

⇒ Principes de partage du travail entre les processus

↪ **Exécutions multiples d'une même tâche avec des entrées variées puis obtention de statistiques.**

↪ **Décomposition du domaine de calcul en plusieurs zones et partage des zones entre les processus.**
Les processus font des échanges de données relatives aux frontières communes et à l'avancement du calcul.

↪ **Décomposition d'un problème complexe en sous-problèmes décrits par des modèles spécifiques et partage des sous-problèmes entre les processus.**
Les processus font des échanges de données relatives au couplage des sous-problèmes.

Parallélisation MPI : « + » et « - »



Gain de performance important sur les calculateurs multiprocesseurs et sur les clusters



Disponible sur toutes les plates-formes y compris des systèmes hétérogènes



Code spécialisé parallèle



Problèmes d'optimisation et de débogage



Attention à la latence réseau

IDRIS – Institut du Développement et des Ressources en Informatique Scientifique

- ➔ Centre de calcul
- ➔ Formation sur la programmation, l'optimisation et la parallélisation de codes
- ➔ Aide au développement d'outils informatiques haute performance



10 nœuds NEC SX8



Clusters IBM Power4 1024 proc

Plan de l'exposé

I. Introduction

II. Plates-formes parallèles et principes de parallélisation

III. Quelques tests comparatifs

IV. Simulations parallèles d'écoulements réactifs à l'ICARE-CNRS

V. Conclusions et perspectives

Machines de calcul testées

⇒ PC de bureau Dell sous Windows (« Dell »)

↳ mono-processeur P4 à 3 GHz

↳ 1 G de mémoire à 800 MHz

⇒ Cluster de PC sous Linux Red Hat 32 bits (« Xeon »)

↳ 2 processeurs P4 Xeon à 2,8 GHz par nœud

↳ 1 G de mémoire à 533 MHz par nœud

⇒ Machine SMP sous Linux Red Hat 64 bits (« SMP »)

↳ 2 processeurs double cœur AMD Opteron 280 à 2.4 GHz

↳ 16 G de mémoire à 1 GHz

Test 1 : Calculs scalaires

⇒ Méthode

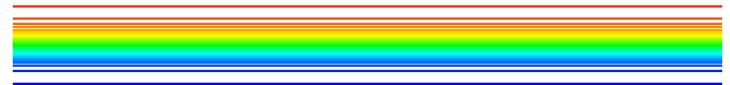
- ↪ Pseudo-parallélisation :
exécution simultanée de plusieurs codes séquentiels
- ↪ Lancer autant de calculs que processeurs

⇒ Code

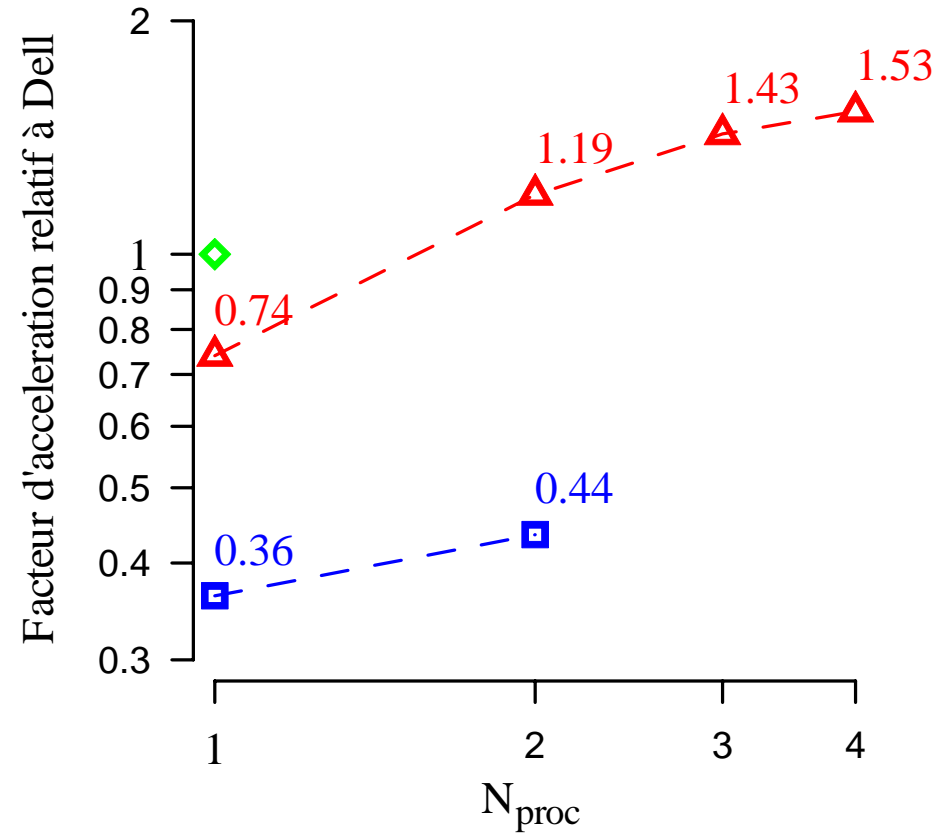
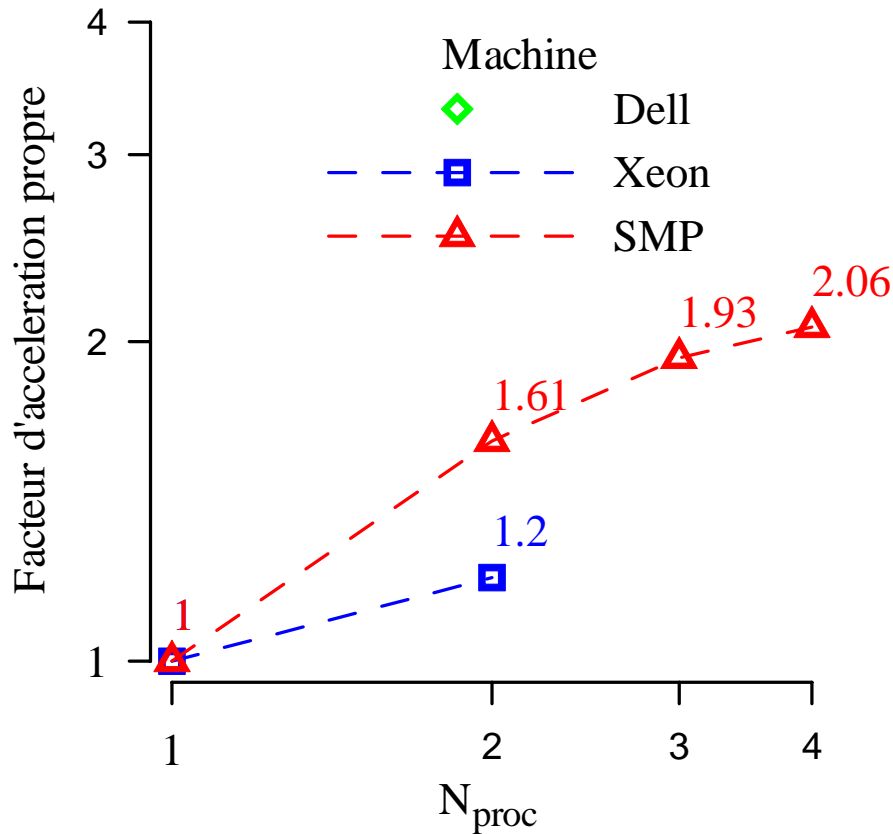
- ↪ Résolution des équations Navier-Stokes non stationnaires en 2D
- ↪ Adaptation à la plate-forme vectorielle (longues boucles)
⇒ accès intenses à la mémoire

⇒ Problème simulé

- ↪ Couche de mélange 2D entre
2 écoulements à contresens
- ↪ 2 espèces non réactives
- ↪ Maillage 256 x 256 cellules



Test 1 : Résultats



Conclusions

- ↪ **Conflits fréquents d'accès à la mémoire ne permettent pas d'atteindre une accélération proportionnelle au nombre de processeurs**
- ↪ **Accélération est plus faible si la mémoire est lente**

Test 2 : Parallélisation OpenMP

➔ Méthode

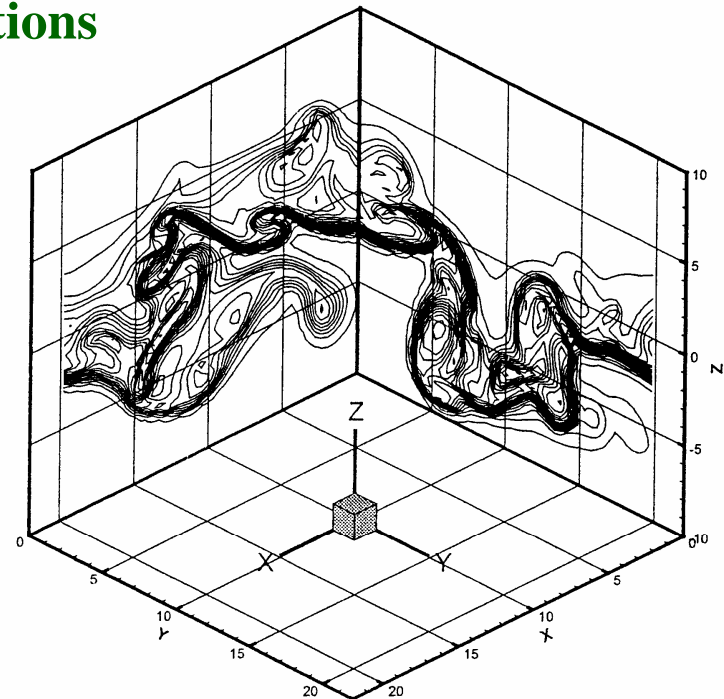
- 1 calcul par machine
- Nombre variable de processus légers

➔ Code

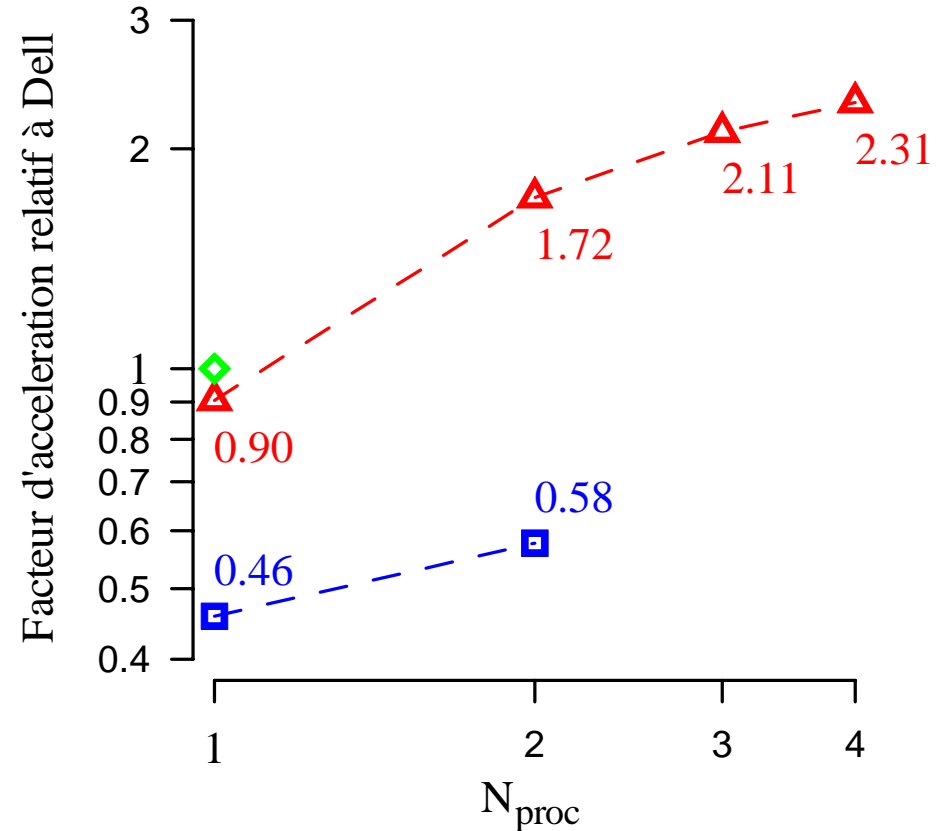
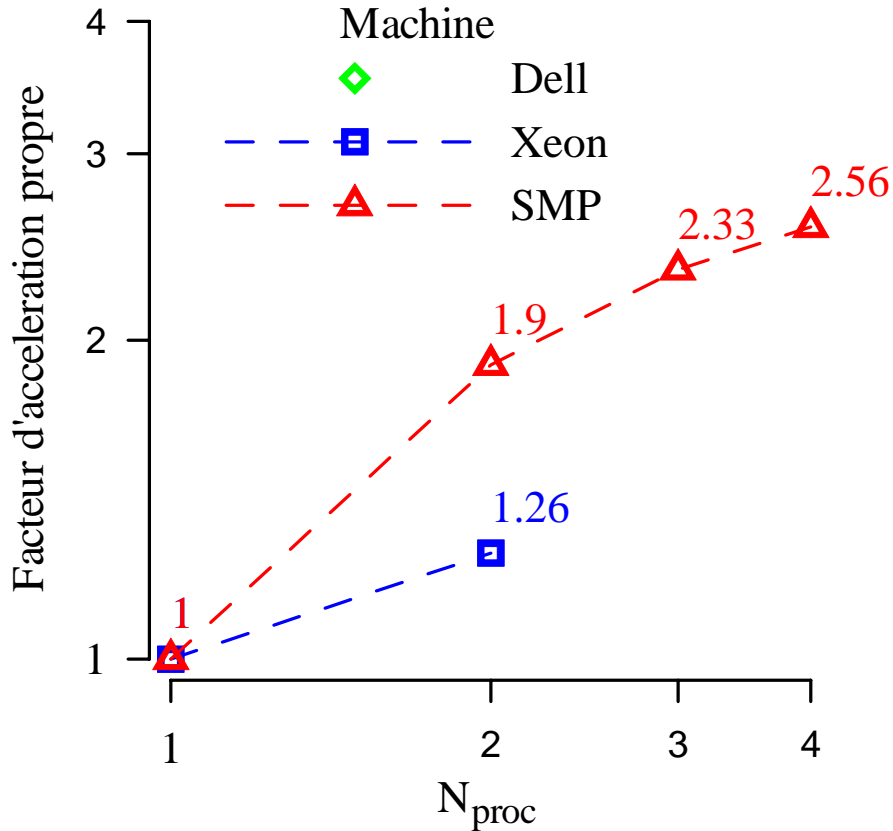
- Résolution des équations Navier-Stokes non stationnaires en 3D
- Adaptation à la plate-forme vectorielle et multiprocesseurs
- Parallélisation de boucles et de sections

➔ Problème simulé

- Couche de mélange 3D entre 2 écoulements à contresens
- 2 espèces non réactives
- Maillage 36 x 36 x 60 cellules



Test 2 : Résultats



Conclusions

- ↪ Bonne accélération sur 2 processeurs pour SMP mais peu de gain sur 3 et 4 processeurs (conflits fréquents d'accès à la mémoire)
- ↪ Faible accélération si la mémoire est lente

Test 3 : Parallélisation MPI

➔ Méthode

- ↪ 1 calcul sur une ou plusieurs machines
- ↪ Nombre variable de processus parallèles

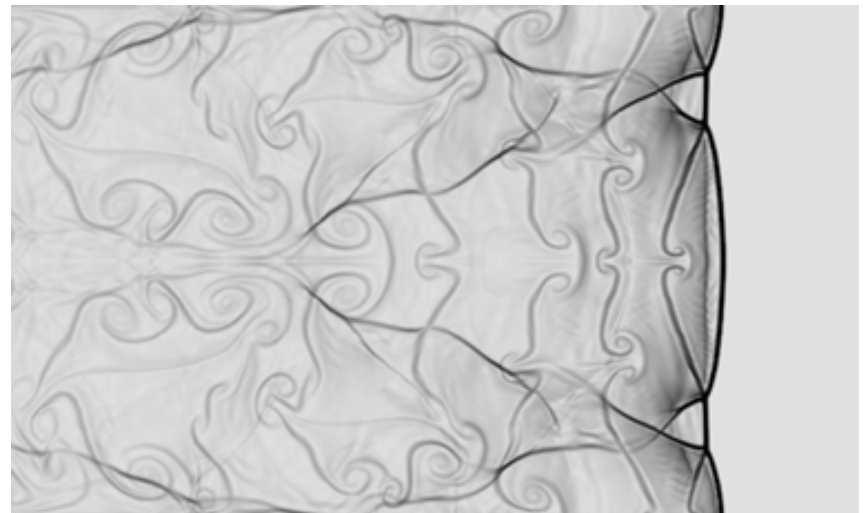
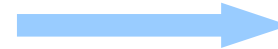
➔ Code

- ↪ Résolution des équations Euler non stationnaires en 2D
- ↪ Parallélisation par décomposition du domaine de calcul

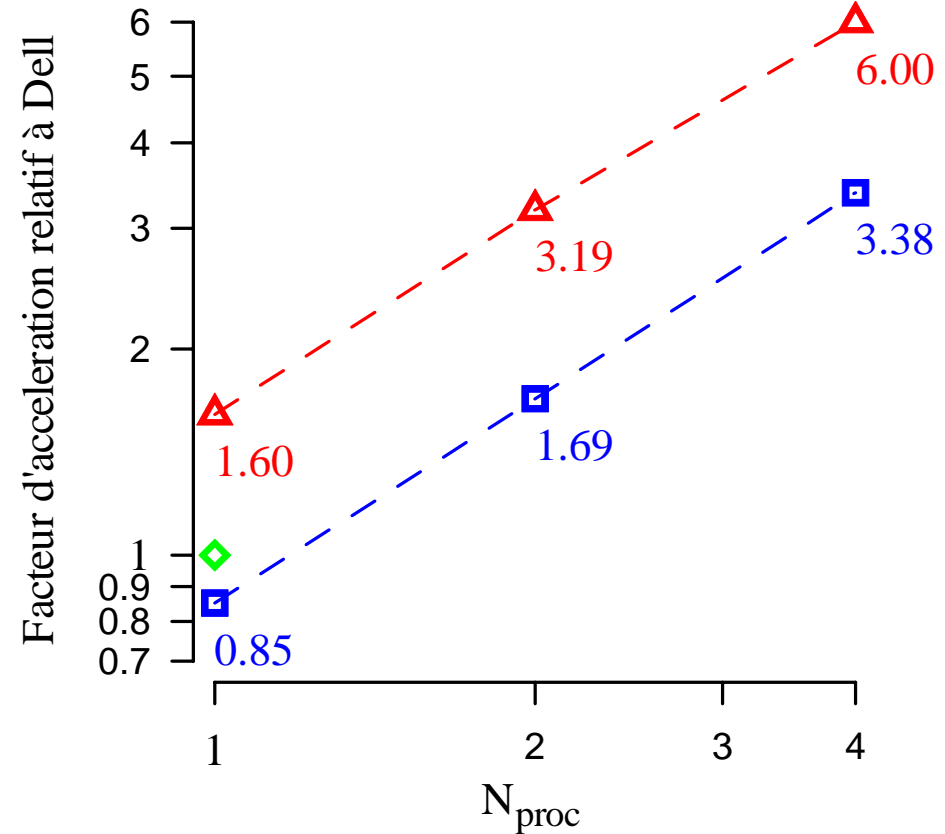
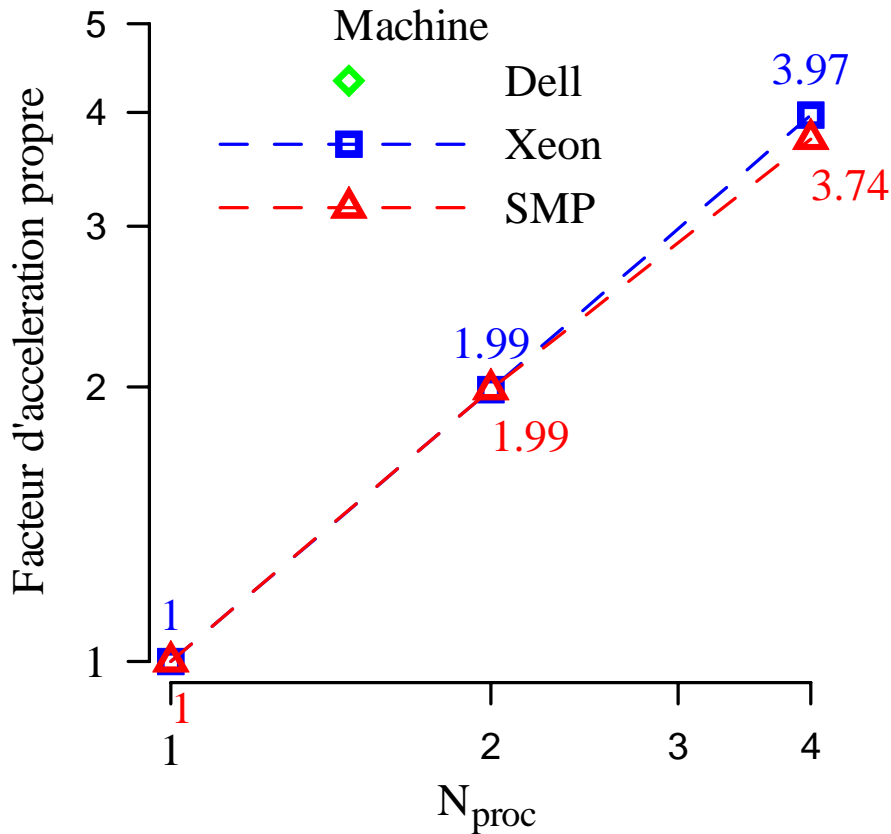
➔ Problème simulé

- ↪ Détonation cellulaire 2D
dans un mélange $H_2 / O_2 / Ar$
- ↪ 7 réactions entre 7 espèces
- ↪ Maillage 900 x 400 cellules

sens de propagation



Test 3 : Résultats



Conclusion

- ↪ Accélération proportionnelle au nombre de processus parallèles
- ↪ Bonnes performances pour la machine SMP et le cluster Xeon

Plan de l'exposé

I. Introduction

II. Plates-formes parallèles et principes de parallélisation

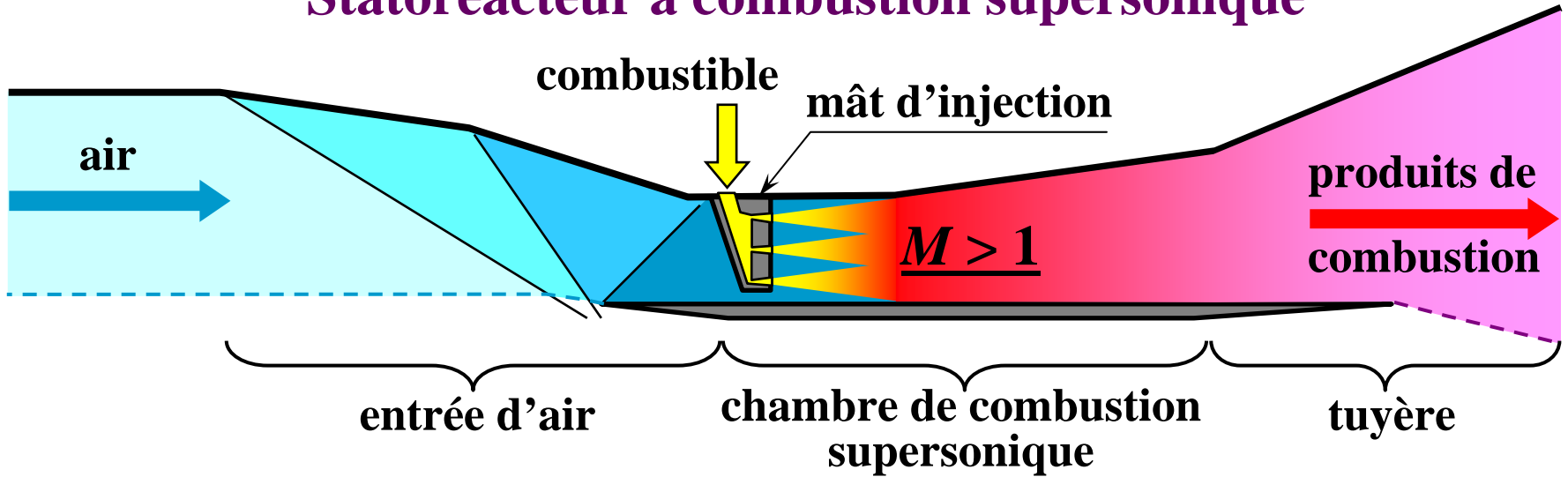
III. Quelques tests comparatifs

IV. Simulations parallèles d'écoulements réactifs à l'ICARE-CNRS

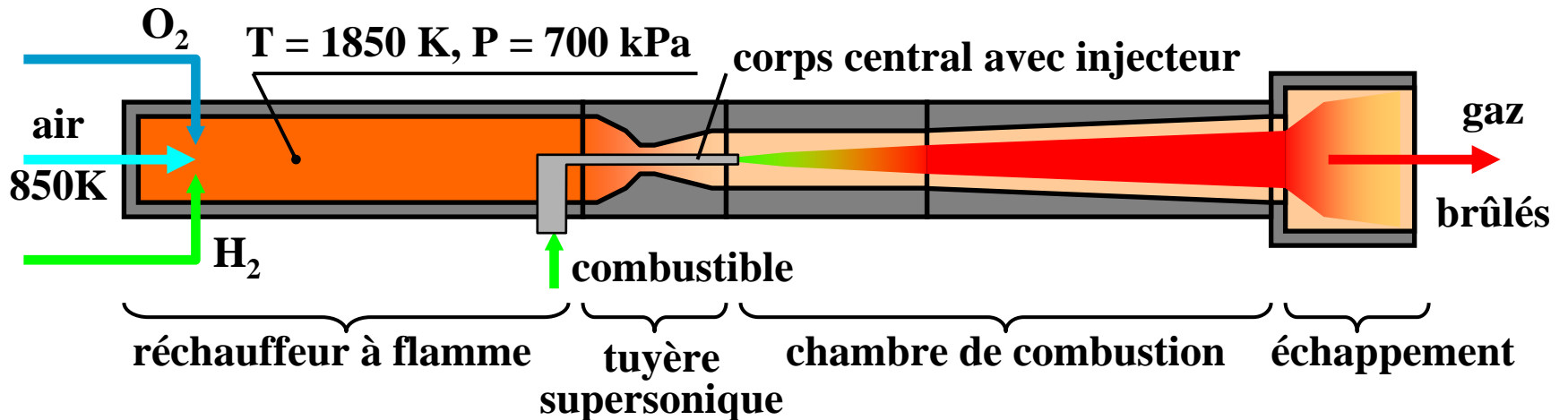
V. Conclusions et perspectives

Combustion supersonique

Statoréacteur à combustion supersonique



Expérience LAERTE à l'ONERA



Simulation de la combustion de H₂

➔ Code MSD (ONERA)

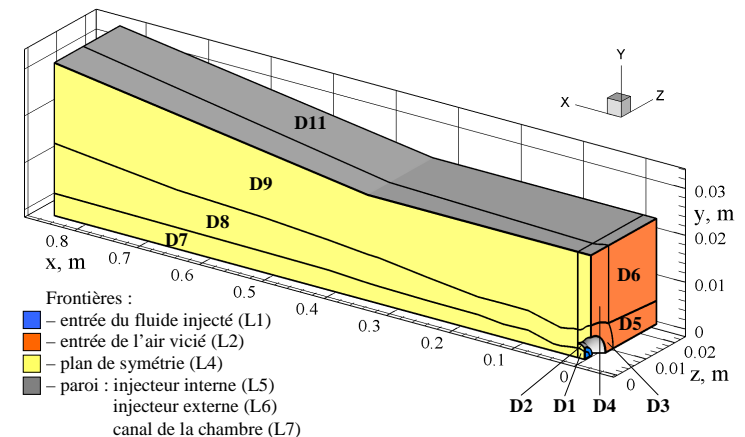
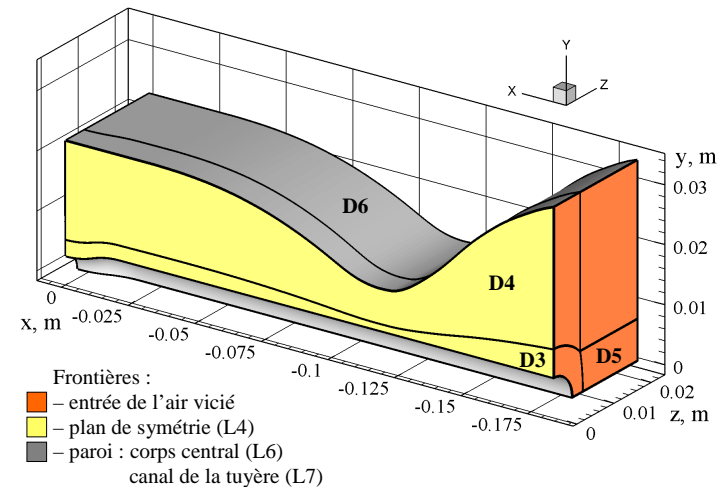
- Résolution des équations Navier-Stokes en 3D
- Adaptation à la plate-forme vectorielle et parallélisation MPI par décomposition du domaine de calcul

➔ Modèles

- Gaz : 7 espèces réactives
- Chimie : 7 réactions
- Turbulence : $k-\epsilon$

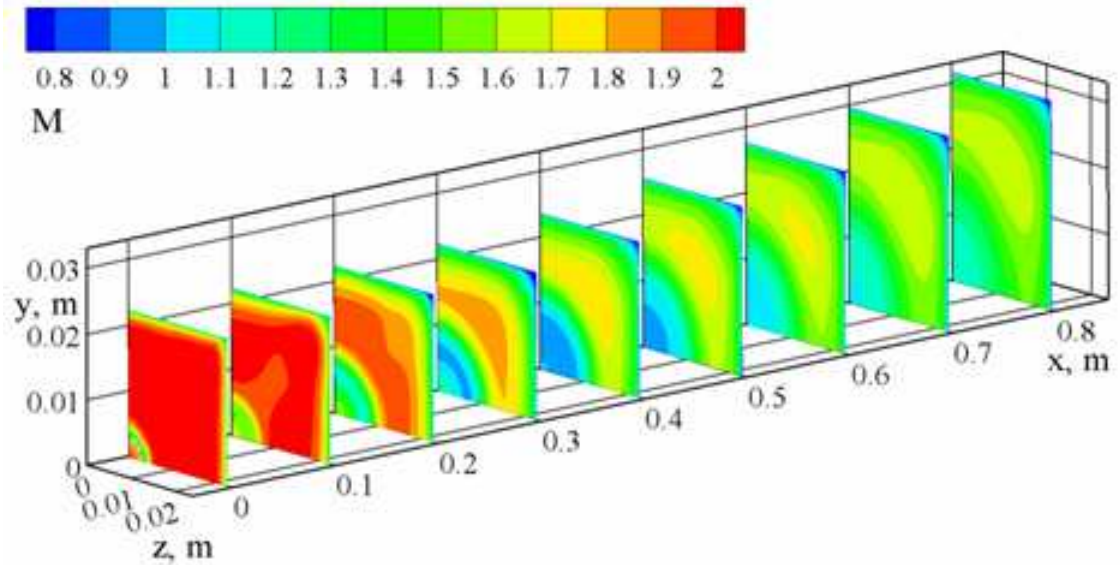
➔ Maillage

- Structuré par blocs
- Tuyère supersonique :
1.1 x 10⁶ cellules
- Chambre de combustion :
4.4 x 10⁶ cellules

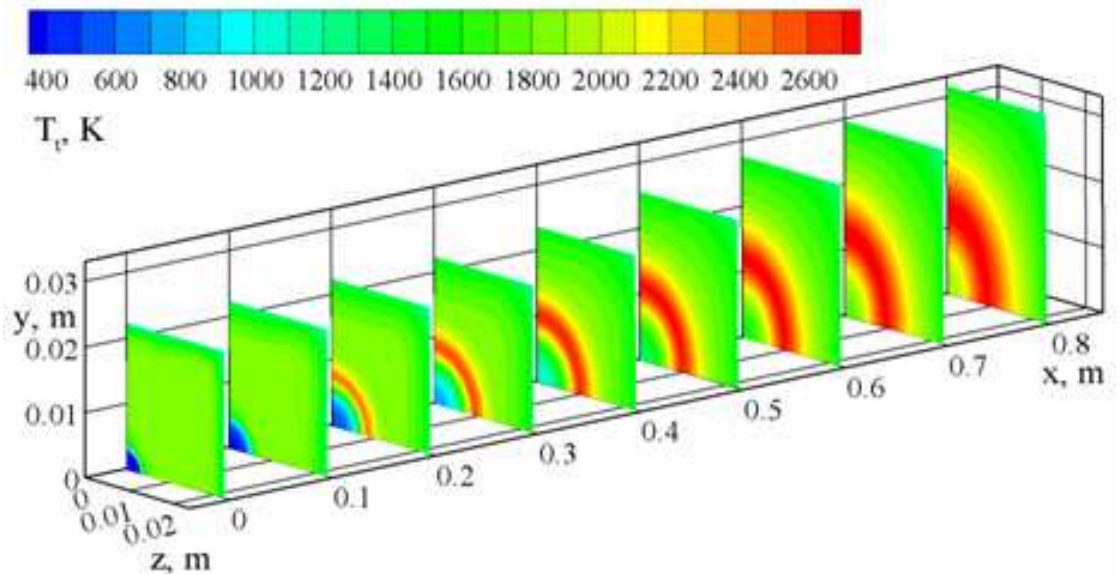


Résultats de la simulation

Champ
de nombre
de Mach

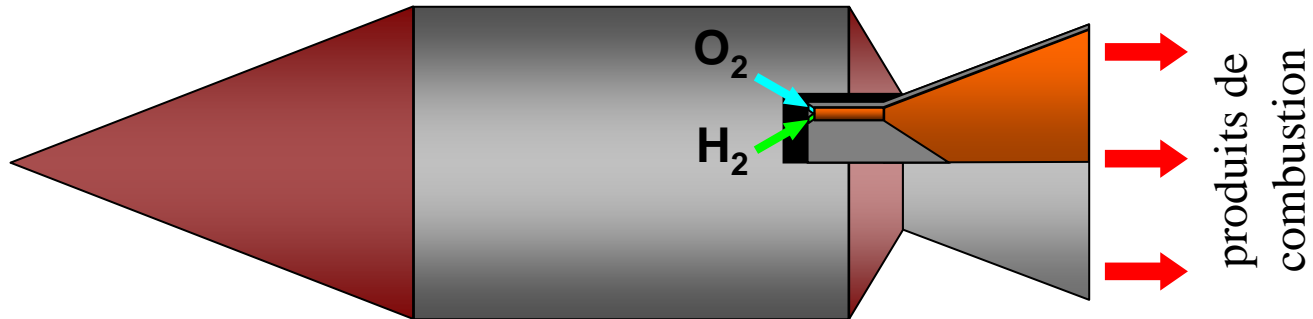


Champ de
température
totale

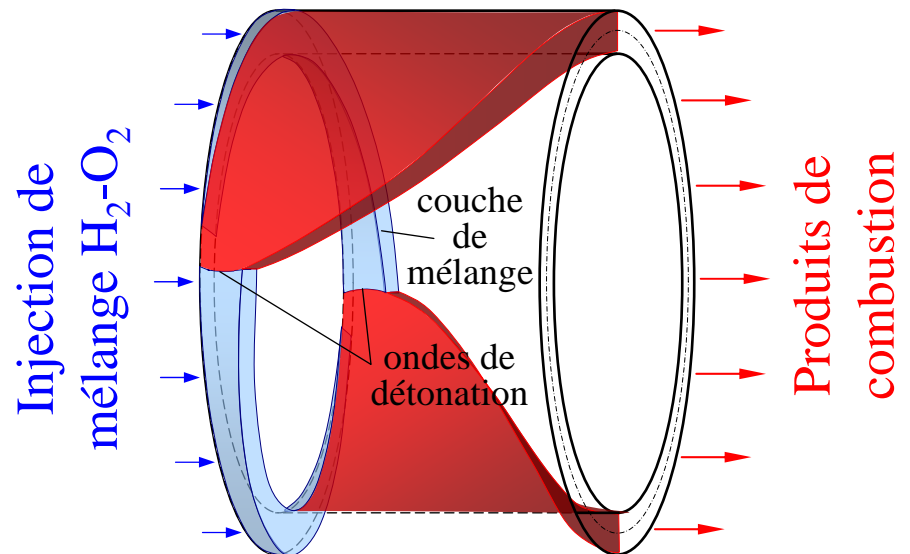
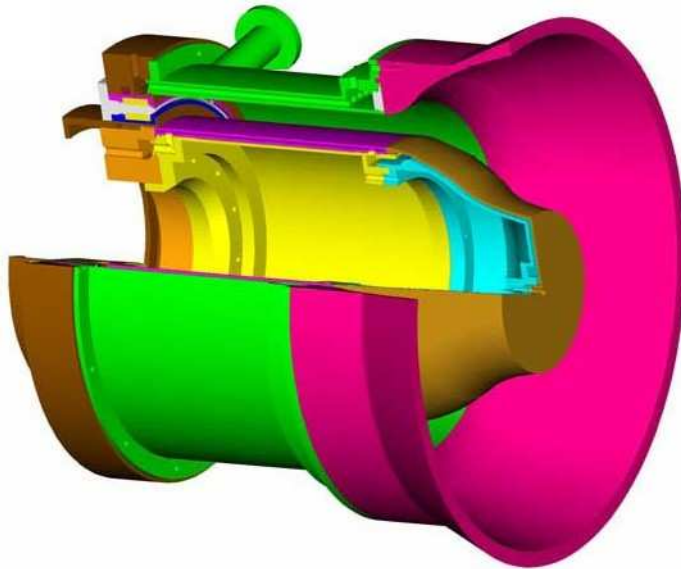


Moteur fusée à détonation continue

Moteur fusée à détonation continue rotative



Chambre de combustion du moteur à détonation



Simulation de la détonation rotative

⇒ Code WENO (ICARE)

- ↪ Résolution des équations Euler non stationnaires en 2D
- ↪ Schémas numériques haute résolution
- ↪ Parallélisation MPI par décomposition du domaine de calcul

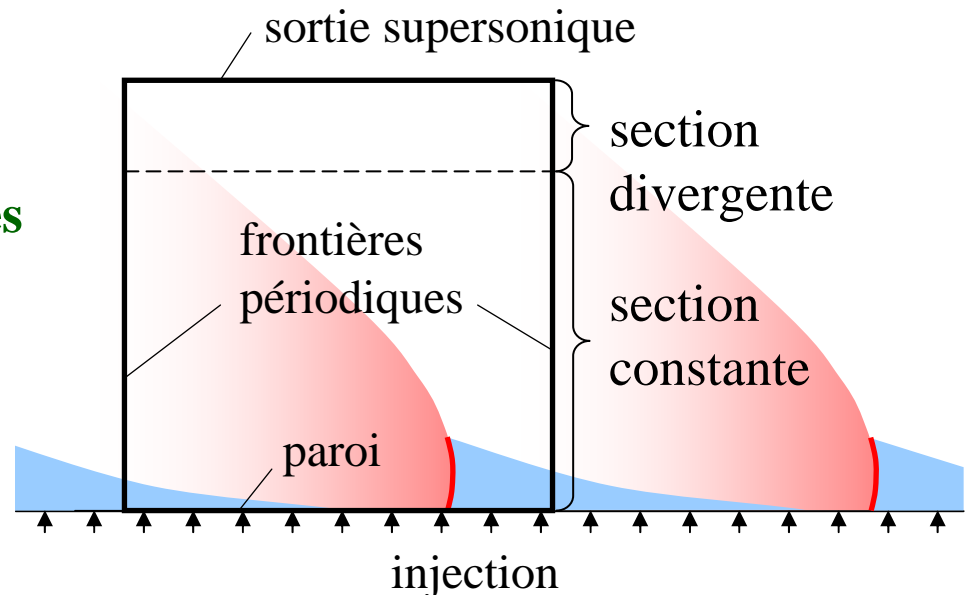
⇒ Modèles

- ↪ Gaz : 6 espèces réactives
- ↪ Chimie : 7 réactions

⇒ Maillage

- ↪ Structuré orthogonal
- ↪ De 4×10^5 à 5×10^5 cellules

Domaine de calcul 2D périodique



Résultats de la simulation

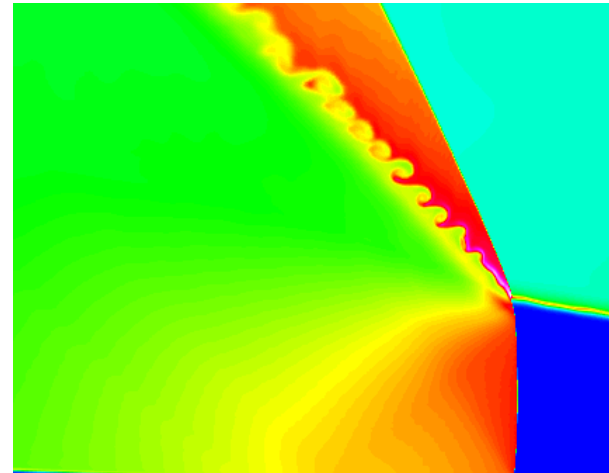
Champ de température



Gradient de densité



Fraction du radical O



Plan de l'exposé

I. Introduction

II. Plates-formes parallèles et principes de parallélisation

III. Quelques tests comparatifs

IV. Simulations parallèles d'écoulements réactifs à l'ICARE-CNRS

V. Conclusions et perspectives

Conclusions et perspectives

⇒ Simulations complexes grâce à l'utilisation efficace de plates-formes parallèles

- ↪ Configurations 2D et 3D en échelle réelle
- ↪ Conditions pratiquement intéressantes en terme de pression et de température
- ↪ Systèmes réactionnels détaillés

⇒ Amélioration d'outils de simulation

- ↪ Création d'une plate-forme de calcul scientifique à l'ICARE
- ↪ Application des techniques de tabulation pour le traitement de systèmes réactifs complexes (hydrocarbures)
- ↪ Intégration de techniques d'adaptation dynamique de maillage (*Adaptive Mesh Refinement*)